

マサ土の破碎性について(3)

立命館大学 正員 福本武明

1. まえがき 前報では粒子破碎量に関する一つの表現法を提示し、その有用性について述べたが、今回は実験によつてえられた乾燥密度のうちで土粒子の破碎による密度増加分がどの程度を占めるかに焦点をしづつて検討したので報告する。なお、ここでは絶乾状態のマサ土を対象に考えることにする。

2. 粒子破碎による密度増加分についての一考察 マサ土のような破碎性土の場合、締固め試験の結果えられた乾燥密度 γ_d には、最小密度 $\gamma_{d\min}$ やび土粒子の再配列による密度分のはかに土粒子の破碎による密度増加分が含まれる(図-1 参照)。その部分を明快に分離して示すことができれば、単に現象の解釈にとどまらず施工(管理)上からもきわめて好都合である。いま、もつともよく詰まつた状態の空気間隙率を v_{\max} とし、 v_a と v_{\max} の比を D_a とかいて実験回数 N との関係を調べると、

図-2 に示すように両対数紙上で直線となる。このことから、

$$D_a = \frac{v_a}{v_{\max}} = \frac{G_s \gamma_w - \gamma_d}{G_s \gamma_w - \gamma_{d\min}} = \left(\frac{N}{C} + 1 \right)^{-\beta} \quad (1)$$

式中、 G_s は土粒子比重、 γ_w は水の单位重量。

C と β は実験定数である。なお、図-2 の

ようは関係はマサ土に限らず一般の土の場合でも成り立つと思われる。¹³ (1)式を変形して、

$$\gamma_d = \gamma_{d\min} + (\gamma_{d\max} - \gamma_{d\min}) \left[1 - \left(\frac{N}{C} + 1 \right)^{-\beta} \right] + (G_s \gamma_w - \gamma_{d\max}) \left[1 - \left(\frac{N}{C} + 1 \right)^{-\beta} \right] \quad (2)$$

ただし、 $\gamma_{d\max}$ は粒度変化のない状態での最大実験到達密度である。ここで、もし実験によって増加した密度分のうちで粒子破碎による部分の占める割合が N の大小によらず常に一定で、 $N \rightarrow \infty$ の完結状態での割合に等しいと仮定すると、(2)式の右辺はそれだけ、第一項が最小密度、第二項が土粒子の再配列による密度分、そして第三項が粒子破碎による密度増加分と見なすことができます。したがって、粒子破碎による密度増加分 γ_{df} は結局、つきのように表現されます。

$$\gamma_{df} = f(G_s \gamma_w - \gamma_{d\max}) \left[1 - \left(\frac{N}{C} + 1 \right)^{-\beta} \right] \quad (3) \quad \text{ただし, } f = \frac{\gamma_{d\infty} - \gamma_{d\max}}{G_s \gamma_w - \gamma_{d\max}} \quad (4)$$

(3)式にパラメータ f を導入したのは、実験によつて土粒子の破碎には限度があり $N \rightarrow \infty$ で $\gamma_d \rightarrow G_s \gamma_w$ とおくより $\gamma_d \rightarrow \gamma_{d\infty}$ ($< G_s \gamma_w, \text{const.}$) とおくほうが合理的と思われますからである。なお、(3), (4)式の意味については図-3を参照されたい。

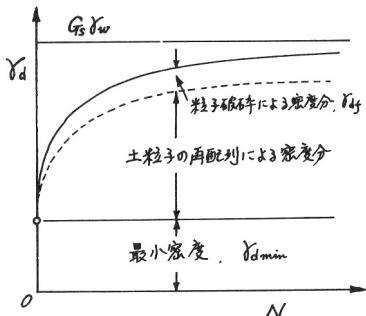


図-1 説明図

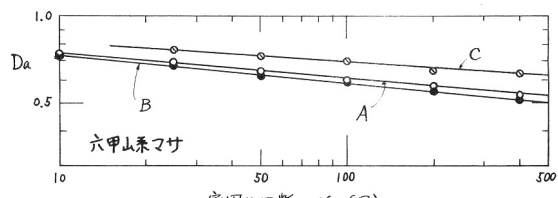


図-2 D_a ~ N 関係

3 (3)式の検証 非破碎性土として不本意ながら河川砂を用い、マサ土との比較実験によって左辺の γ_{df} を見積もることにする。両材料を同一粒度に調整したのち密固め試験を行ない、同一密固めエネルギーの下で測定した乾燥密度を比較するのであるが、その際、両材料は元来、粒度や粒子特性に大きな差異があるので水を補正して用いる必要がある。筆者は最小密度

の状態における両者の物理的性質を考えて、一応マサ土と同じ物性をもつながら常用の密固めエネルギーのもとでは粒子破碎を生じない場合に相当する密度 γ_{ds}' を、 $\gamma_{ds}' = \gamma_{ds} \cdot (f_{\min}/f_{\max})$ で算定することにした。ここに、 γ_{ds} は砂の乾燥密度、 f_{\min} は砂の最小密度である。したがって、 γ_{df} は同じ密固めエネルギー下でのマサ土の γ_{ds} とこの γ_{ds}' の差とつて推測できることになる。こうして求めた γ_{df} の測定値は、図-4中の○印で示している。一方、(3)式の右辺については、すでに図-2で各マサ土試料に対する土復元数C、 β が求められていて、 $f(G_s f_w - f_{\max})$ の値が決まれば、(3)式の表現で良いかどうかがわかる。そこで、砂といえども高い密固めエネルギーのもとでは粒子破碎が起こることなどを勘案して、 $N \leq 50$ 回のときの γ_{df} の測定値を(3)式に適用して $f(G_s f_w - f_{\max})$ を逆算し、その平均値をもつて改めて(3)式より γ_{df} を計算した。図-4中の実線は、この計算値を連ねた線である。図から、常用の密固めエネルギーの範囲では(3)式の表現で不自然さを感じないように思われる。なお、同図中の数字はマサ土試料の各密固め回数時(非繰返し法)での粒子破碎量S.I.²⁾を、そして下欄の(S.I.)_sは砂試料と繰返し使用(10, 25, 50, 100, 200回)した後の破碎量を示しており、これによつて砂粒子がマサ土粒子に比して非常に破碎されにくうことが理解される。

4 あとがき 粒子破碎に起因する密度増加について巨視的立場から考察し、(3)式のような表現をえた。この式は、河川砂とマサ土の比較実験による検証の結果、少なくとも常用の密固めエネルギーの範囲では実験の傾向とよく一致すことが確かめられた。なお、便宜上および試験法上に不完全なところがあつたと思われる所以、さらにより方向へと摸索してゆきたい。また、含水状態のマサ土については今後の課題である。

参考文献 1) 渡辺、久野： 土の密固めに対する特性および乾燥密度曲線の実験式、土木学会誌、Vol. 38, No. 5, 1952 2) 福本： 粒子破碎量の表現法に関する一考察、第6回土質工学研究発表会講演集、1971

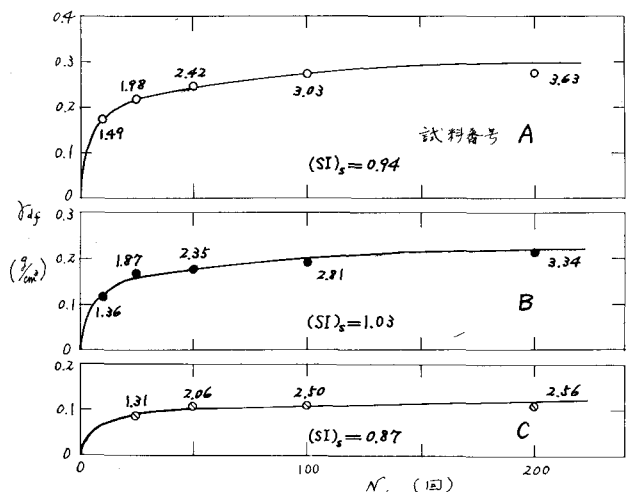
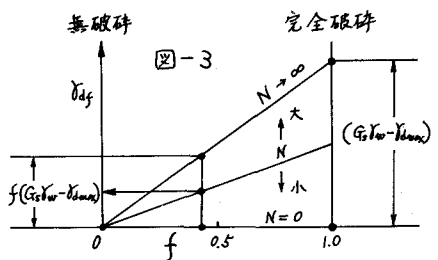


図-4 試料の γ_{df} ～N関係